

С 344.1и

Г-521

24/1

ОБЪЕДИНЕННЫЙ
ИНСТИТУТ
ЯДЕРНЫХ
ИССЛЕДОВАНИЙ

Дубна

2671



Н.С. Глаголева, Ю.А. Каржавин,
А.Т. Матюшин, И. Шинагл

СИСТЕМА ПИТАНИЯ МНОГОПРОМЕЖУТКОВЫХ
ИСКРОВЫХ КАМЕР

ЛАБОРАТОРИЯ ВЫСОКИХ ЭНЕРГИЙ

1966

4222/1 38.

Н.С. Глаголева, Ю.А. Каржавни,
А.Т. Матюши, И. Шиняги

СИСТЕМА ПИТАНИЯ МНОГОПРОМЕЖУТКОВЫХ
ИСКРОВЫХ КАМЕР

Объединенный институт
автоматического управления
и вычислительной техники
БИБЛИОТЕКА

Для питания многопромежуточных искровых камер, используемых в опытах по $\pi + p$ рассеянию на пучке синхрофазотрона ОИЯИ, была разработана система питания с применением в качестве коммутирующего элемента в цепи формирования импульса на пластинах камеры воздушного разрядника, устанавливаемого непосредственно на коммуникационной стенке искровой камеры с целью снижения индуктивностей коммутируемой цепи.

Для уменьшения габаритов и увеличения мобильности системы в качестве источников высокого напряжения применены высокочастотные преобразователи высокого напряжения с ферротрансформаторами.

Параметры каналов системы идентичны. Основные данные канала:

- 1) минимальная амплитуда запускающего импульса > 1 в;
- 2) амплитуда выходного напряжения 5-25 кв;
- 3) задержка канала ≈ 200 нсек;
- 4) емкость пары промежутков 250-300 мф;
- 5) емкость камеры $\approx 0-5$ тпф;
- 6) фронт рабочего импульса на пл. камеры $\approx 20-25$ нсек.

При отсутствии необходимости в автономном запуске нескольких камер поджиг разрядников, расположенных на искровых камерах, может производиться от выходного импульса тиратрона одного канала системы одновременно.

В качестве источников питания для системы используются стандартные выпрямители типа УИП-1 и выпрямители на 300 в, 50 ма.

Блок-схема описываемой системы приведена на рис. 1 (для двух каналов с автономным запуском). Параметры каналов системы идентичны и работа схемы может быть прослежена на примере одного канала.

Сигнал схемы совпадения поступает на блок запуска БЗ, где формируется импульс поджига разрядника. Чувствительность БЗ-1 определяется порогом срабатывания схемы. Сформированный импульс поджига поступает на разрядное устройство 1-ой камеры -РУ-1 и вызывает разряд в промежутках искровой камеры КА-1.

Напряжение импульса разряда через делитель поступает на пульт управления ПУ-1, где вспышка сигнальной лампы "разряд" служит для индикации срабатывания разрядного устройства. От ПУ-1 на КА-1 подается регулируемое и измеряемое напряжение очищающего поля. От высоковольтного преобразователя ВВП-30-1 на разрядное устройство РУ-1 подается высокое напряжение требуемой величины. Для обеспечения взрывобезопасности предусмотрен продув блока запуска азотом. Схема ПУ приведена на рис. 2. Общий вид — на рис. 8.

На пульт управления вынесены включение, регулировка и измерение напряжения очищающего поля, включение, регулировка и измерение напряжения разрядника, индикация срабатывания разрядника и порог чувствительности БЗ. Для регулировки величины напряжения разрядника используется вынесенная на пульт дублирующая схема цепи сетки лампы стабилизации напряжения в высоковольтном преобразователе ВВП-30. Управление напряжением может производиться в системе либо от пульта, либо непосредственно на панели ВВП-30. Схема управления напряжением разрядника от пульта производится при переключении тумблера "пульт-панель" на передней панели ВВП-30 в положении "пульт". В положении тумблера "панель" ВВП-30 управляется автономно. Включение высокого напряжения разрядника производится на пульте путем подачи питающего ВВП-30 напряжения + 150 в (Пз). Включения напряжений очищающего поля и напряжения разрядника индусируются с помощью сигнальных ламп $СЛ_2$, $СЛ_3$.

Блок запуска БЗ на 2 канала, принципиальная схема которого приведена на рис. 3, содержит две одинаковые схемы запуска — L_1 , L_2 , L_3 и L_7 , L_8 и высокочастотный преобразователь для получения высокого напряжения питания анодов тиратронов — ЛЗ и Л10. Входной сигнал поступает на управляющую сетку L_1 типа 6В2П. На лампе L_1 со вторичной эмиссии собрана схема типа блокинг-генератора, служащая в качестве пороговой. В нормальном состоянии лампа заперта напряжением, созданным на катодном сопротивлении, величина этого напряжения меняется сопротивлением R_8 и определяет порог срабатывания схемы.

Импульс диодной цепи лампы, имеющий остроконечную форму с крутым фронтом, амплитудой порядка 100–200 в, поступает на управляющую сетку запертой лампы L_2 типа 6Э5П-И, служащей буферноусилительным каскадом между пороговой схемой (L_1) и выходным тиратроном (лампа L_3) типа ТГИ1 180/10.

Для изменения полярности выходного импульса L_2 включен импульсный трансформатор с ферритовым сердечником и коэффициентом трансформации 1:1 (T_1). Импульс положительной полярности амплитудой до 400 в с выходной обмотки трансформатора T_1 поступает на управляющую сетку тиратрона L_3 и запускает его. Импульс, снятый с анода тиратрона, через емкость C и соединительный кабель поступает на поджиг разрядника.

Основная задержка в схеме - задержка, создаваемая тиратроном 150 - 180 нсек.

Вторая схема запуска (L_7, L_8, L_9) аналогична описанной.

Для питания анодов тиратронов обеих схем служит высокочастотный преобразователь, представляющий собой автогенератор на лампе L_6 типа 6П13С с колебательным контуром в анодной цепи, являющимся резонансным повышающим трансформатором; выпрямитель по схеме удвоения напряжения высокой частоты, осуществленной на лампах L_4, L_5 типа 1Ц11П и стабилизатор выходного напряжения L_6 типа 6Н6П.

Ввиду того, что система предназначена для питания различного рода экспериментальных искровых камер, требующих различных напряжений и больших импульсных токов, в качестве коммутатора применен разрядник. Для обеспечения независимого питания пар пластин и с целью сохранения возможности изменения их количества общая емкость $C_{зар}$ рис. 5а разбита на пару пластин (рис. 5б). Разработанный разрядник - трехэлектродного типа. Конструкция его приведена на рис. 6, общий вид показан на рис. 7. В качестве поджигающего электрода применен графитовый стержень от обычного карандаша. Поджиг разрядника производится высоковольтным импульсом, выдаваемым блоком поджига. Величина разрядных сопротивлений для искровых промежутков камеры R определяется требуемыми параметрами выходного импульса, которые зависят от типа применяемой камеры. Разрядник настраивается на напряжение, близкое к пробивному, без существенного увеличения задержки (10 - 20 нсек); напряжение на разряднике может быть уменьшено на 20 - 25%.

На рис. 8 приведен общий вид блоков системы - блок запуска на 2 канала.

Л и т е р а т у р а

1. Spark Chamber Simp. The Rev. of Scientific Instruments, Vol. 32, N 5 May 1961.
2. Л.И. Рабкин. Высокочастотные ферромагнетики, Физматгиз, 1960 г.
3. А.Ф. Сенченков и А.Г. Фунштейн. Применение ферритов в радиоаппаратуре, Госэнергоиздат, 1966 г.
4. Т.А. Ворончев. Импульсные тиратроны, Советское радио, 1958 г.
5. А.А. Воробьев. Высоковольтное испытательное оборудование и измерения, Госэнергоиздат. 1960 г.
6. А.Т. Матюшин, Н.С. Глаголева, И. Шинагл. Высоковольтные преобразователи высокого напряжения с ферротрансформаторами. Препринт ОИЯИ, 2672, Дубна, 1965 г.

Рукопись поступила в издательский отдел
7 апреля 1966 г.

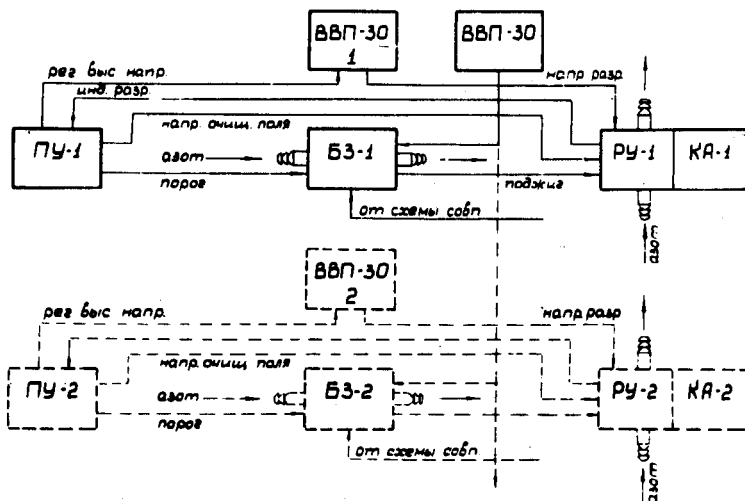


Рис. 1. Блок-схема канала системы питания искровых камер. ПУ - пульт управления каналом системы. БЗ - блок запуска разрядного устройства. РУ, КА - разрядное устройство и камера. ВВП-30 высоковольтные источники питания разрядного устройства камеры и блоков запуска.

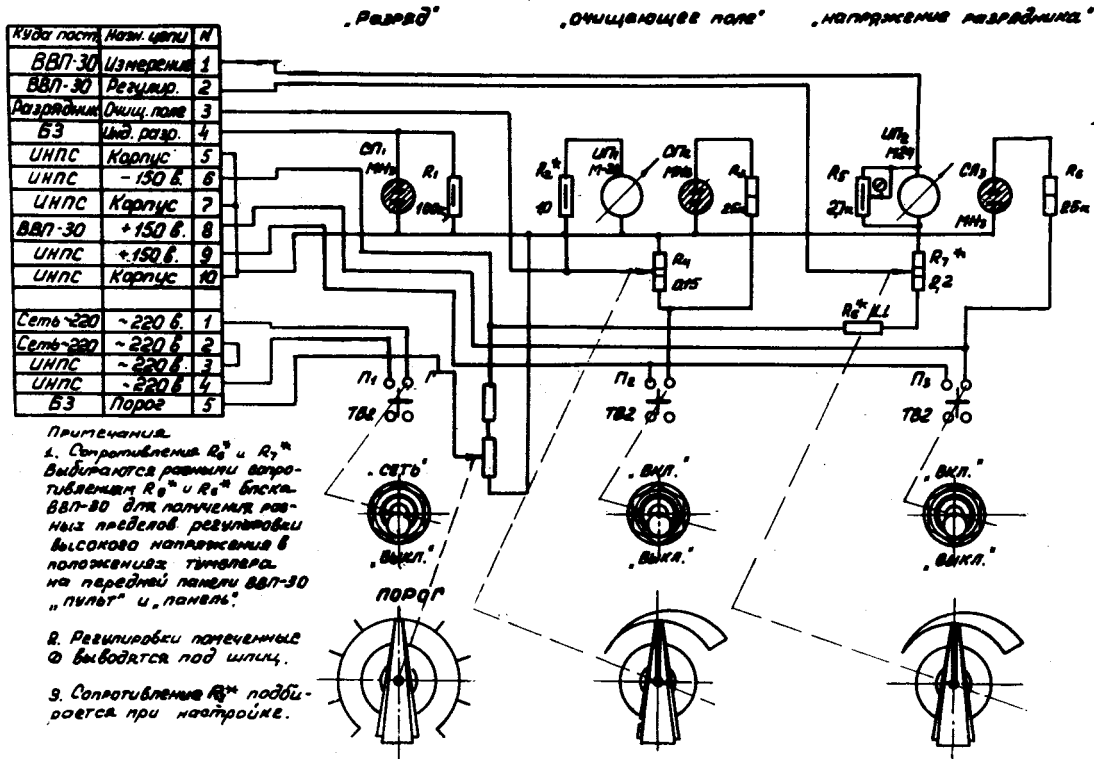
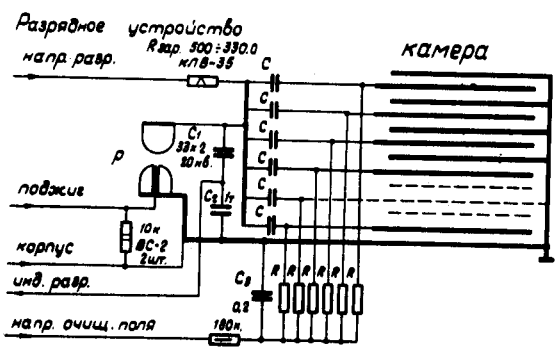
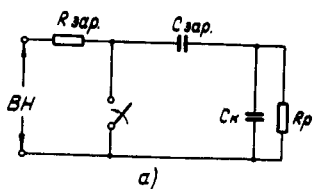


Рис. 2. Принципиальная электрическая схема пульта управления ПУ.



Примечания: 1. Сопротивления $R_{зар.}$ и R_p выбираются в соответствии с требованиями к импульсу
б)

Рис. 5. Принципиальная электрическая схема разрядного устройства РУ.

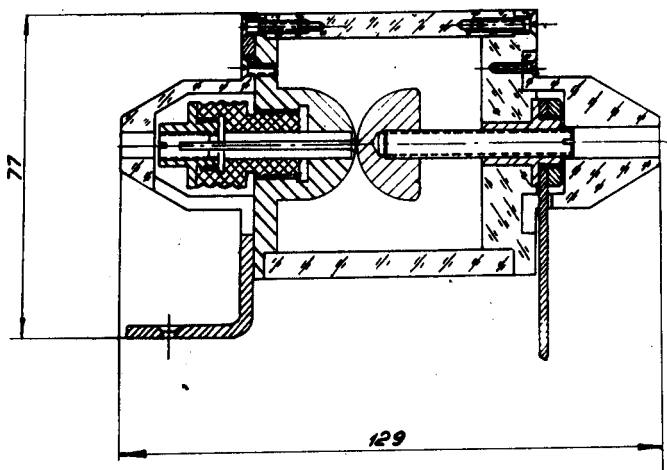


Рис. 6. Конструкция разрядника.



Рис. 7. Детали разрывника и разрывник в сборе.



Рис. 8. Общий вид блоков системы - Блок запуска на 2 канала.